

где G - насыпная плотность материала; g - ускорение свободного падения; H - высота канала.

Физический смысл этого условия следующий: за последней пластиной, в месте расположения бункера, давление должно создаваться только весом материала (иначе его захват из бункера будет затруднен).

Полученная математическая модель процесса ротационного прессования порошковых материалов позволяет оптимизировать этот процесс и выработать рекомендации по конструированию различных прессующих устройств.

СПИСОК ЛИТЕРАТУРЫ

1. Пятов В.В., Алексеев И.С., Ахтанин О.Н. Оптимизация геометрических параметров канала с подвижными и неподвижными стенками при формовании порошковых материалов // *Tendencje rozwojowe w technologii maszyn. Zielona Gora, 1990*.
2. Колмогоров В.Л. Механика обработки металлов давлением. М.: Металлургия, 1986.
3. Сторожев М.В., Попов Е.А. Теория обработки металлов давлением. М., 1957.

УДК 621.762

А.В.Степаненко, академик, В.В.Пятов, канд. техн. наук, И.С.Алексеев, канд. техн. наук, А.Л.Коваленко

АНАЛИЗ НАПРЯЖЕННОГО СОСТОЯНИЯ МАТЕРИАЛА В ЗОНЕ ФОРМОВАНИЯ

Целью настоящей работы является получение зависимости распределения напряжений в формирующем инструменте при формовании трубчатых изделий из порошковых материалов или при нанесении покрытия на стержень.

На рисунке изображена схема зоны формования. Материал выдавливается через зазор между внутренней поверхностью матрицы 1 и наружной поверхностью оправки 2. Матрица имеет коническую часть длиной Z_1 и цилиндрическую часть длиной $Z_2 - Z_1$. Радиусы входного и выходного сечений матрицы Z_2 и Z_1 соответственно. Оправка представляет собой цилиндрический стержень

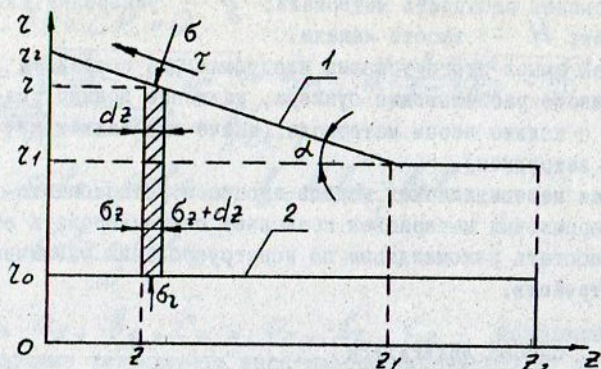


Схема формирования волны

радиусом Z_0 и длиной много больше длины матрицы Z_2 . Образующая конической части матрицы имеет угол наклона α . Оправка не закреплена и перемещается в процессе экструзии вместе с материалом.

Предполагается, что плотность материала в зоне формирования постоянна. Его уплотнение происходит в канале шнека и во входном сечении матрицы, которое является наиболее напряженной областью. По мере удаления от входного сечения напряжения в материале уменьшаются и его дальнейшего уплотнения не наблюдается.

На материал действует усилие выдавливания, вызывающее напряжения σ_z , которые предполагаются распределенными в поперечных сечениях однородно (не зависят от радиуса поперечного сечения конической части матрицы Z). Со стороны матрицы действуют нормальные σ и касательные τ напряжения, вызываемые силой трения материала о матрицу. Оправка создает нормальные напряжения σ_2 в радиальном направлении. Касательные напряжения на оправке считаются пренебрежимо малыми, так как она движется вместе с материалом.

Закон трения (о связи касательных напряжений с нормальными на поверхности матрицы) выбран в виде [1]

$$f = a\rho + b, \quad (1)$$

где f - коэффициент трения материала о матрицу; ρ - плотность материала в зоне формования, равная плотности прессовки; a и b - постоянные коэффициенты, не зависящие от напряжений и плотности материала.

Условие пластичности взято в форме

$$\sigma_{11} - \sigma_{33} = \sigma_s, \quad (2)$$

где σ_{11} и σ_{33} - наибольшее и наименьшее главные нормальные напряжения соответственно; σ_s - сопротивление деформации материала (физический предел текучести при сжатии). Предполагается, что направления главных нормальных напряжений совпадают с координатными направлениями.

В конической и цилиндрической частях матрицы $\sigma_{11} = \sigma_z$ и $\sigma_{33} = \sigma_r$. Поэтому при $0 < z < z_1$, $z_1 < z < z_2$ условие пластичности записывается следующим образом:

$$\sigma_z - \sigma_r = \sigma_s. \quad (3)$$

Уравнение равновесия сил, действующих на кольцевой элемент толщиной dz , имеет вид:

$$\sigma(z^2 - z_0^2)Gz - \sigma[(z - \operatorname{tg}\alpha dz)^2 - z_0^2](Gz + dGz) - 2\sigma(z - \frac{1}{2}\operatorname{tg}\alpha dz)\operatorname{tg}\alpha dz - 2\sigma(z - \frac{1}{2}\operatorname{tg}\alpha dz)\tilde{\epsilon}dz = 0. \quad (4)$$

или после удаления бесконечно малых высших порядков

$$-(z^2 - z_0^2)\frac{dGz}{dz} + 2z\operatorname{tg}\alpha Gz - 2z(G\operatorname{tg}\alpha + \tilde{\epsilon}) = 0. \quad (5)$$

Сделав подстановку (1) в выражение (5), получим

$$-\frac{z^2 - z_0^2}{2z} \frac{dGz}{dz} + \operatorname{tg}\alpha Gz - (\operatorname{tg}\alpha + f)G = 0. \quad (6)$$

Так как

$$Gz = \frac{G \cos\alpha - \tilde{\epsilon} \sin\alpha}{\cos\alpha} = G(1 - f \operatorname{tg}\alpha), \quad (7)$$

то с учетом пластичности (3) уравнение (6) записывается:

$$-\frac{z^2 - z_0^2}{2z} \frac{dG_z}{dz} + (tgd - k)G_z - kG_s = 0, \quad (8)$$

где

$$k = \frac{1 + tgd}{tgd}$$

Принимая во внимание, что $z = z_2 - tgd z$, после преобразований получаем

$$-\frac{dG_z}{(k - tgd)G_z + kG_s} = 2 \frac{z_2 - tgd z}{(z_2 - tgd z)^2 - z_0^2} dz. \quad (10)$$

После интегрирования (10) имеем

$$-\ln |(k - tgd)G_z + kG_s| = \frac{tgd - k}{tgd} \ln |(z_2 - z tgd)^2 - z_0^2| + A, \quad (11)$$

где A - произвольная постоянная, определяемая граничным условием

$$G_z(z_2) = G_s. \quad (12)$$

Потенцируя (12) и избавляясь от знаков абсолютной величины (под ними стоят неотрицательные выражения), имеем

$$(k - tgd)G_z + kG_s = e^n [(z_2 - z tgd)^2 - z_0^2]^n, \quad (13)$$

$$\text{где } n = \frac{k - tgd}{tgd} = \frac{1}{tgd} \left(\frac{1 + tgd}{1 - tgd} - tgd \right) = \frac{1}{tgd} \frac{1 + tgd^2}{1 - tgd}. \quad (14)$$

Подставляя в (13) граничное условие (12), находим произвольную постоянную

$$e^n = [(k - tgd)G_s + kG_s] [(z_2 - z_2 tgd)^2 - z_0^2]^{-n}. \quad (15)$$

Выражая (15) через (13), получаем

$$G_z = (G_s + m G_s) \left(\frac{F}{F_s} \right)^n - m G_s, \quad (16)$$

где G_s - осевое напряжение в выходном сечении конической части матрицы;

$$m = \frac{k}{k - tgd} = \frac{tgd + 1}{tgd + 1 - tgd(1 - tgd)} = \frac{1 + tgd}{1 + tgd^2}; \quad (17)$$

F и F_s - площади текущего и выходного сечений конической части матрицы соответственно.

Таким образом, найдено распределение напряжений вдоль конической части матрицы.

Для установления распределения напряжений вдоль цилиндрической части матрицы в (6) подставим $\alpha = 0$ и $z = z_1$:

$$-\frac{z_1^2 - z_0^2}{2z_1} \frac{d\sigma_z}{dz} - f\sigma = 0.$$

Подставляя в (18) $\sigma = \sigma_z$, с учетом (3) получаем дифференциальное уравнение

$$\frac{d\sigma_z}{\sigma_z + \sigma_s} = - \frac{2fz_1}{z_1^2 - z_0^2} dz, \quad (19)$$

решением которого будет

$$\sigma_z = B e^{\frac{2fz_1}{z_1^2 - z_0^2} z} - \sigma_s. \quad (20)$$

Из граничного условия

$$\sigma_z(z_2) = 0 \quad (21)$$

находим произвольную постоянную

$$B = \sigma_s e^{\frac{2fz_1}{z_1^2 - z_0^2} z_2}. \quad (22)$$

Таким образом, распределение напряжений вдоль цилиндрической части матрицы имеет вид

$$\sigma_z = \sigma_s \left[e^{\rho(z_2 - z)} - 1 \right], \quad (23)$$

где
$$\rho = \frac{2fz_1}{z_1^2 - z_0^2}. \quad (24)$$

Напряжение на выходе конической части записывается:

$$\sigma_1 = \sigma_s \left[e^{\rho(z_2 - z_1)} - 1 \right]. \quad (25)$$

Отдельно рассмотрим случай, когда внешнее трение отсутствует ($\eta = 0, m = \infty$).

При $f \rightarrow 0$ имеем

$$\lim_{f \rightarrow 0} \sigma_z = \sigma_s \lim_{f \rightarrow 0} \frac{f + \operatorname{tg} \alpha}{1 + \operatorname{tg}^2 \alpha} \left[\left(\frac{F}{F_1} \right) \frac{f(1 + \operatorname{tg}^2 \alpha)}{\operatorname{tg} \alpha (1 - f \operatorname{tg} \alpha)} - 1 \right] \sigma_s \ln \frac{F}{F_1} \quad (26)$$

т.е. напряжение прессования в этом случае зависит только от прочности материала и от степени обжатия.

Полученные зависимости распределения напряжений конической и цилиндрической части матрицы позволяют рассчитывать усилия, возникающие в процессе формования труб или при нанесении покрытий на стержень, а также определять оптимальные геометрические параметры Φ -образующего инструмента.

1. Колмогоров В.Л. Механика обработки металлов давлением. М.: Металлургия, 1986.

УДК 621.762

С.С.Клименков, канд. техн. наук, В.В.Селивончик

МИНИМИЗАЦИЯ МОЩНОСТИ ШНЕКОВОГО ПРЕССОВАНИЯ

Минимизацию энергетических затрат шнекового прессования выполним применительно к винтовому каналу постоянного по длине профиля. Задача в конечном итоге сводится к расчету оптимального профиля продольного сечения канала шнека плоскостью Σ_0 . Искомую поверхность канала Σ_1 зададим уравнением $z = z_{z_1}(\theta, z) = f(z - a\theta)$, активная поверхность Σ_2 сопрягаемой со шнеком гильзы описывается уравнением $z = z_2$. Линии пересечения поверхностей Σ_1 и Σ_2 будут описываться уравнениями

$$x = z_2(\theta) = a\theta, \quad z = z_2;$$

$$x = x_2(\theta) = a\theta + b, \quad z = z_2,$$

где b - длина линии пересечения поверхности Σ_2 с плоскостью Σ_0 .

Будем исходить из следующих кинематических соотношений:

$$u_1 = 0; \quad u_2 = z u(\theta); \quad u_3 = a u(\theta).$$

Аналогично работе [1] мощность, необходимая для преодоления контактного трения порошка о поверхность канала, определяется выражением

$$N_{\Sigma_1} = - \iint_{\Sigma_1} (\tau_{tg} \bar{e}_2) \bar{n} u r ds.$$

На поверхности Σ_1

$$n = \frac{1}{\sqrt{1+(f')^2}} (-1, -af', f), \quad ds = \sqrt{1+(f')^2} dz d\theta,$$

где f' - производная функции f .

После преобразований получим